

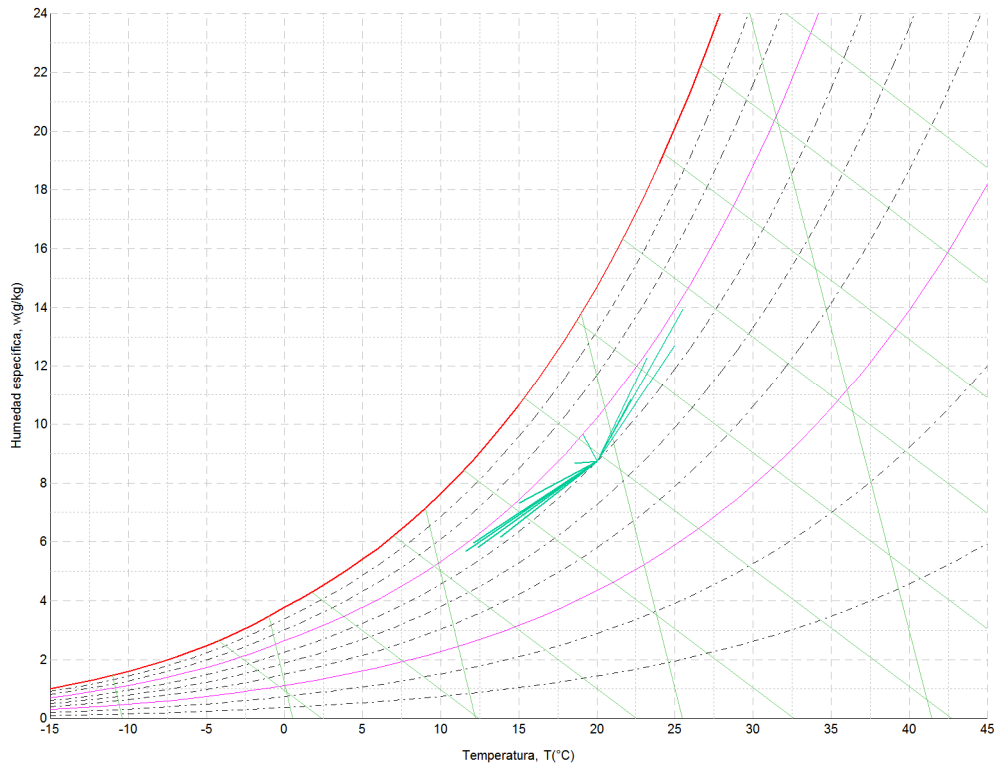
1.- Resultados del cálculo de condensaciones

1.1.- Fachada caravista

Las condiciones higrotérmicas exteriores e interiores utilizadas para realizar el cálculo de condensaciones son las siguientes:

		Ene	Feb	Mar	Abr	May	Jun	Jul	Ago	Sep	Oct	Nov	Dic
Condiciones exteriores													
Temperatura, θ_e	(°C)	11.6	12.4	13.8	15.7	18.6	22.2	25.0	25.5	23.2	19.1	15.0	12.1
Humedad relativa, ϕ_e	(%)	67	65	63	65	65	65	64	68	69	70	69	68
Condiciones interiores													
Temperatura, θ_i	(°C)	20.0	20.0	20.0	20.0	20.0	20.0	20.0	20.0	20.0	20.0	20.0	20.0
Humedad relativa, ϕ_i	(%)	60	60	60	60	60	60	60	60	60	60	60	60

El diagrama psicrométrico asociado al emplazamiento, con una altura sobre el nivel del mar de **7 m**, se muestra a continuación, representando mediante segmentos de recta las transiciones desde cada condición exterior de cálculo a su correspondiente condición interior.



1.1.4.- Cálculo del factor de temperatura superficial interior necesario para evitar la humedad superficial crítica

Con objeto de prevenir los efectos adversos de la humedad superficial crítica, se ha limitado la humedad relativa máxima en la superficie interior a un valor de $\phi_{si,cr} \leq 0.8$.

Dadas las condiciones higrotérmicas exteriores, así como las interiores, el cálculo de $f_{Rsi,min}$ queda como sigue:

	θ_e (°C)	φ_e (%)	θ_i (°C)	φ_i (%)	P_i (Pa)	$P_{sat}(\theta_{si})$ (Pa)	$\theta_{si,min}$ (°C)	$f_{Rsi,min}$
Enero	11.6	67.0	20.0	65.0	1519.02	1898.77	16.7	0.606
Febrero	12.4	65.0	20.0	65.0	1519.02	1898.77	16.7	0.564
Marzo	13.8	63.0	20.0	65.0	1519.02	1898.77	16.7	0.466
Abril	15.7	65.0	20.0	65.0	1519.02	1898.77	16.7	0.230
Mayo	18.6	65.0	20.0	65.0	1519.02	1898.77	16.7	0.000
Junio	22.2	65.0	20.0	65.0	1519.02	1898.77	16.7	--*
Julio	25.0	64.0	20.0	65.0	1519.02	1898.77	16.7	--*
Agosto	25.5	68.0	20.0	65.0	1519.02	1898.77	16.7	--*
Septiembre	23.2	69.0	20.0	65.0	1519.02	1898.77	16.7	--*
Octubre	19.1	70.0	20.0	65.0	1519.02	1898.77	16.7	0.000
Noviembre	15.0	69.0	20.0	65.0	1519.02	1898.77	16.7	0.338
Diciembre	12.1	68.0	20.0	65.0	1519.02	1898.77	16.7	0.581

*: No hay riesgo de formación de condensaciones superficiales en el paramento interior, ya que $\theta_e \geq \theta_i$.

>> Representación gráfica (Enero)

1.1.6.- Representación gráfica de las condensaciones intersticiales previstas

